

staltstypen aus den sieben Punktlagen $A, B, C, 1, 2, 3, 4$, des Urbauteils in Fig. 131 abzuleiten.

α . Flächen senkrecht zur Hauptachse.

C. Pinakoid $\{0001\}$. Endflächen. Fig. 135.

β . Flächen parallel zur Hauptachse.

A. Hexagonales Prisma erster Stellung $\{10\bar{1}0\}$. Fig. 136.

B. Hexagonales Prisma zweiter Stellung $\{11\bar{2}0\}$. Fig. 137.

1. Dihexagonale Prismen $\{hiko\}$. Fig. 138.

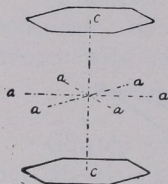


Fig. 135.
Endflächen.

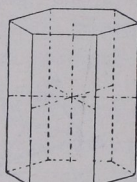


Fig. 136.
Hexagonales Prisma
I. Stellung.

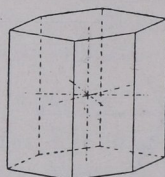


Fig. 137.
Hexagonales Prisma
II. Stellung.

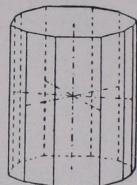


Fig. 138.
Dihexagonales
Prisma.

γ . Flächen schräg zur Hauptachse.

2. Rhomboeder: a) positive Rhomboeder $\{h o \bar{h} l\}$. Fig. 139;

b) negative Rhomboeder $\{o h \bar{h} l\}$. Fig. 140.

3. Hexagonale Bipyramiden zweiter Stellung $\{h h \bar{2} h l\}$.
Fig. 141.

4. Skalenoeder: a) positive Skalenoeder $\{h i \bar{k} l\}$. Fig. 142;
b) negative Skalenoeder $\{i h \bar{k} l\}$.

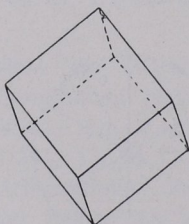


Fig. 139.
Ein positives
Rhomboeder.

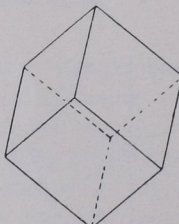


Fig. 140.
Ein negatives
Rhomboeder.

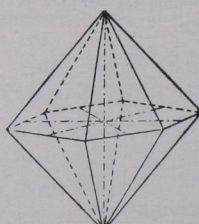


Fig. 141. Eine hexa-
gonale Bipyramide,
2. Stellung.

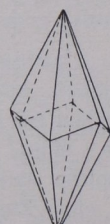


Fig. 142.
Ein positives
Skalenoeder.

II. Ditrigonal-pyramidale Klasse. 4. Stufe. Erzeugende Symmetrie $3d$ (trigyrisch domatisch) Fig. 143. Volle Symmetrie Fig. 144. c -Achse heteropolar.; Hemimorphismus. Entsprechend Fig. 144 sind die sieben Gestaltstypen aus den sieben Punktlagen $A, B, C, 1, 2, 3, 4$ des Urbauteils in Fig. 131 abzuleiten.